



## تأثير المراجعة لفولاذ متوسط الكربون على سلوك الكلال

عبدالله ضايع عاصي /مدرس مساعد/ معهد تكنولوجيا / بغداد/قسم الميكانيك

سلمان حسين عمران /مدرس مساعد/ معهد تكنولوجيا / بغداد/قسم الميكانيك

### الخلاصة

يهدف هذا البحث إلى دراسة تأثير مقاومة الكلال للفولاذ متوسط الكربون (Ck45) والقصية والمراجعة عند درجات حرارة مختلفة (250, 450, 650 °C) وذلك باستخدام المعاملات الحرارية المتضمنة القصية (الإخماد) في وسطين هما الماء والزيت متبعاً بالمراجعة عند درجات حرارة المذكورة ، والمقارنة بين تأثير كل من الوسطين على البنى المجهرية الناتجة والخواص الميكانيكية وكذلك مقاومة الكلال لكل وسط تقسية. تم إجراء اختبارات الكلال للفولاذ غير المعامل حراريا (as-received) والمعامل حراريا عند اجهادات ثابتة السعة وبنسبة إجهاد (R = -1).

أظهرت النتائج إن التقسية في الماء والمراجعة عند 250 °C (1 hr) أعطت أفضل مقاومة الكلال للفولاذ وذلك بسبب تكوين بنية المارتنسيات المراجع، أما بالنسبة لوسط الزيت فكانت الظروف المثلث هي عند التقسية في الزيت والمراجعة عند 250 °C، كما تم دراسة سلوك شقوق الكلال الطويلة من خلال صور المجهر الإلكتروني الماسح (SEM) وقياس أطوال الشقوق لكل بنية مجهرية، وتم وضع أنماذجين رياضيين للتبؤ بعمر الكلال للفولاذ متوسط الكربون المقسى في الماء والمراجعة عند درجات حرارية مختلفة اعتماداً على النتائج العملية حيث استخرج الأنماذج الأولى من سرعة نقدم الشق (da/dN) أما الثاني فتم استخراجه من معامل شدة الإجهاد (the stress intensity factor) ( $\Delta K$ ) .

$$1. \quad N_f = \frac{0.2 \times 10^9}{\sigma_f T^{0.07}}$$

$$2. \quad N_f = \frac{100 \times 10^9}{\sigma_f^2 T^{0.07}}$$

## THE EFFECT OF TEMPERING ON THE FATIGUE BEHAVIOR FOR MEDIUM CARBON STEEL

## **Abstract**

This research is concerned with the study of the effect of tempering on the fatigue strength of medium carbon steel (CK 45), by using different heat treatments including quenching in water and oil followed by tempering at (250, 450 & 650) °C comparisons between the effects of two mediums on microstructure, mechanical properties and fatigue strength for each quenching media . The fatigue tests have been done under constant amplitude stresses with a stress ratio ( $R=-1$ ). The experimental results reveal that water quenching followed by tempering at 250 °C (1 hr) gives maximum fatigue strength for steel, and this is due to the formation of tempered martensite. Long fatigue cracks have been measured and studied from using fractography of fatigue specimens (SEM). Two models have been proposed to assess fatigue lives of quenched and tempered medium carbon steel at different tempering temperature . The first model was derived from the fatigue crack growth rate equation ( $da/dN$ ) while the second model was extracted from the stress intensity factor equation ( $\Delta K$ ).

$$1. \quad N_f = \frac{0.2 \times 10^9}{\sigma_f T^{0.07}}$$

$$2. \quad N_f = \frac{100 \times 10^9}{\sigma_f^2 T^{0.07}}$$

## **Introduction - المقدمة**

تتعرض العديد من الأجزاء الهندسية للفشل نتيجة للاجهادات الميكانيكية لأسباب تصميمية أو ميتالورجية، وتمثل ظاهرة فشل الكلال المساحة الأكبر وبحدود 90% من فشل الأجزاء الهندسية التي تكون معرضة إلى اجهادات دورية.[1]

إن خطورة فشل الكلال تتضمن حصوله بدون إنذار مسبق، لذلك أخذت ظاهرة الكلال جانباً كبيراً من البحوث والدراسات التي تعالج فشل المعادن، إذ تركزت هذه البحوث والدراسات على طبيعة الكلال وأآلية الكسر ابتداءً من تكون الشقوق وسلوكها خلال فترات نموها وانتهاءً بالعمر العملي للأجزاء التي تتعرض إلى الاجهادات المتكررة التي تسبب الكلال[2].

أن تحسين الخواص الميكانيكية للفولاذ باستخدام المعاملات الحرارية أدى إلى حدوث تطور كبير في الصناعة، وهذا التطور أدى إلى تحمل الفولاذ لسرع دورانية عالية والى الظروف القاسية أثناء الخدمة.

إن خاصية الفولاذ الأساسية هي في إمكانية تصليده أو ما يُعرف بقابلية التصليد وهي إمكانية تحول الفولاذ جزئياً أو كلياً من الاوستنait إلى المارتنسيت بنسبة محددة وتحت ظروف محددة [3] ، ومن المعلوم إن مقاومة الكلال للفولاذ متوسط الكاربون عالية لذلك تناول هذا البحث دراسة تأثير البنى المجهرية أو الأطوار الناتجة من

المعاملات الحرارية المشتملة على التقسية في وسطين هما الماء والزيت متبعاً بالمراجعة عند درجات حرارية مختلفة على سلوك الكلال عند اجهادات ثابتة السعة.

استقراء نماذج رياضية لمعدلات نمو شقوق الكلال لفولاذ متوسط الكربون تحت تأثير المراجعة ومقارنة وتقويم نماذج نمو شقوق الكلال من خلال تنفيذ اختبارات الكلال والمعاملات الحرارية التي يتطلبها البحث .

### الجاني العملي

#### 2-1 المعدن المستخدم

إن المعدن المستخدم في هذا البحث هو فولاذ متوسط الكاربون (CK45) حسب المعاشرة الألمانية (DIN) الذي يستخدم في الصناعة لأغراض مختلفة. وقد تم الحصول على قضبان اسطوانية من هذا المعدن بطول 6m وقطر 19mm من الأسواق المحلية.

تم فحص التركيب الكيميائي للفولاذ متوسط الكاربون (CK 45) وذلك بإجراء عملية التحليل الكيميائي باستخدام جهاز المطياف الموجود في المعهد المتخصص للصناعات الهندسية. الجدول (1) يوضح التركيب الكيميائي القياسي والتركيب الفعلي للمعدن المستخدم في البحث.

جدول (1) نتائج التحليل الكيميائي للمعدن المستخدم

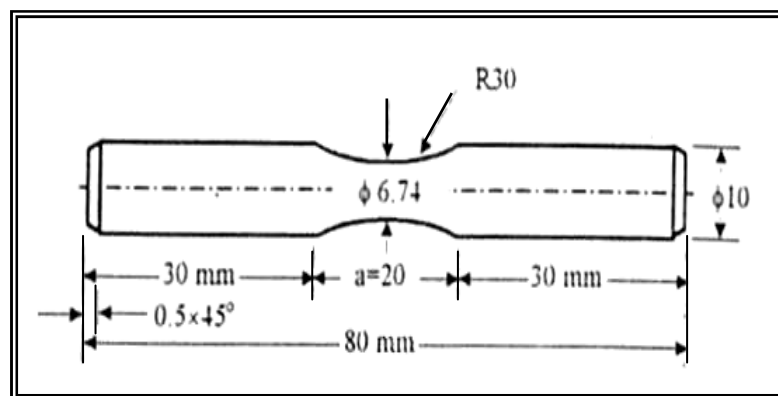
Wt %	C	Si	Mn	P	S	Mo	Cu	Fe
القيمة القياسية	0.42-0.5	0.15-0.35	0.5-0.8	≤ 0.035	≤ 0.035	-	-	Rem.
القيمة الفعلية	0.472	0.2115	0.567	-	0.03	0.082	0.016	Rem.

#### 2-2 تصنيع عينات اختبار الكلال

تم تصنيع عينات اختبار الكلال الموضحة في الشكل ( 1 ) وفقاً للمواصفات القياسية لفحصها على جهاز اختبار الكلال بالانحناء الدوار .

تم تقطيع القضبان المستلمة إلى قطع بطول 82 mm وقطر 11 mm ثم تم إجراء التجليخ السطحي بمكائن التجليخ اللامركزي (Center less Grinding) للحصول على القطر النهائي 10mm. وللحصول على التقوس الموجود في وسط العينة (R 30) تم تشغيل العينات على مخرطة الاستنساخ من نوع ( Harrison

(600) حيث تم استنساخ العينة مع التقوس الموجود على عينة قياسية صنعت على ماكينة CNC وبقطر 6.74 mm في وسط التقوس (R) مع ترك سماح 0.1 mm لغرض التعليم اليدوي وإزالة التشوهات الناتجة من المعاملات الحرارية، حيث تم استخدام ماكينة الخراطة الاعتيادية لغرض تعليم الجزء المقوس (R 30) بأوراق تتعيم من كاربيد السليكون بدرجات نعومة (120، 180، 220، 320، 400، 500، 600، 1000، 1200) حبيبية / سم<sup>2</sup> ، أما الصقل فتم باستخدام معجون الماس بحجم حبيبي 4/8 ميكرون مع قماش صقل احمر وسائل تبريد للحصول على درجة فائقة من النعومة والصقل (Mirror Finishing).



شكل (1) أبعاد عينة الكلال القياسية [10]

### 2-3 تصنیف عینات اختبار الكلال

تم تصنیف عینات اختبار الكلال إلى خمس مجاميع وفقاً لنوع التعامل الحراري المستخدم وكما موضح في الجدول (2).

جدول (2) تصنیف عینات اختبار الكلال للفولاد متوسط الكاربون

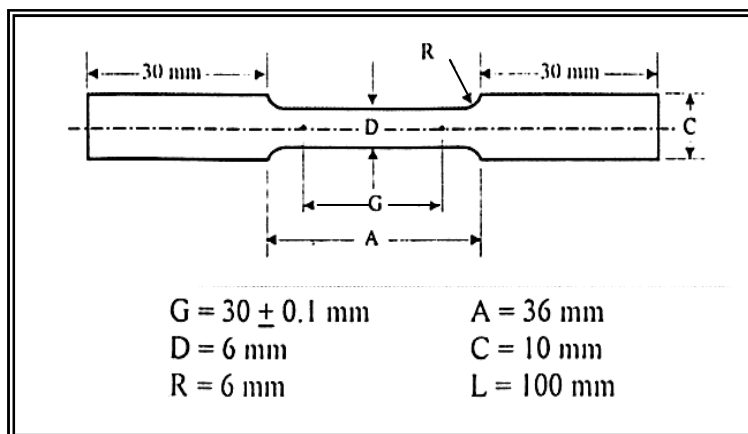
رمز المجموعة	رمز العينة	نوع المعاملة الحرارية
A	-	بدون تعامل (As-received)
B	-	نقسية في الماء من 830 °C لمدة 15 min.
C	C1	نقسية في الماء + مراجعة عند 250 °C لمدة 1hr.
	C2	نقسية في الماء + مراجعة عند 450 °C لمدة 1hr.
	C3	نقسية في الماء + مراجعة عند 650 °C لمدة 1hr.
D	-	نقسية في الزيت من 830 °C لمدة 15 min.

E	E1	تقسية في الزيت + مراجعة عند $250^{\circ}\text{C}$ لمدة 1hr.
	E2	تقسية في الزيت + مراجعة عند $450^{\circ}\text{C}$ لمدة 1hr.
	E3	تقسية في الزيت + مراجعة عند $650^{\circ}\text{C}$ لمدة 1hr.

## 4.2 الاختبارات والفحوصات

### 1.4.2 اختبار الشد

تم إجراء اختبار الشد للفولاذ متوسط الكربون (CK 45)، إذ تم تصنيع عينة واحدة لكل معاملة حرارية بموجب المواصفات القياسية رقم (DIN 50125) لعينة اختبار الشد والموضحة في الشكل (2)، وقد اجري اختبار الشد على جهاز فحص الشد من نوع (Universal Testing Instron) الموجود في المعهد المتخصص للصناعات الهندسية. والجدول (3) يوضح نتائج اختبار الشد لفولاذ متوسط الكربون وفقا لنوع المعاملة الحرارية.



شكل (2) أبعاد عينة الشد القياسية

جدول (3) نتائج اختبار الشد للفولاذ (CK 45) وفقا لنوع المعاملة الحرارية

No.	Specimen	Yield Strength (N/mm <sup>2</sup> )	Tensile Strength (N/mm <sup>2</sup> )
1	A	595	622
2	B	2030	2220
3	C1	-	1920
4	C2	-	1125

5	C3	-	870
6	D	-	900
7	E1	-	940
8	E2	-	780
9	E3	-	630

#### 2.4.2 اختبار الصلادة العينية (Macro hardness)

أولاً: تم إجراء اختبار الصلادة العينية بطريقة روکویل (HRC) على جهاز قياس الصلادة نوع (Wilson / Rockwell Hardness Tester B524-R) الموجود في الشركة العامة للصناعات الكهربائية ولكافحة مجاميع العينات المعاملة وغير المعاملة حراريا واستخدمت في الجهاز أدلة غرز مخروطية ماسية وحمل مقداره 150 kg وتم اخذ ثلاثة قراءات لكل عينة من الجهاز مباشرة وتم اعتماد المعدل لهذه القراءات . وتم هذا الاختبار (أي فيكرز للصلادة) في قسم هندسة الإنتاج والمعادن ، وان نتائج هذا الاختبار موضحة في الجدول (4).

جدول (4) نتاج اختبار الصلادة للفولاذ متوسط الكاربون وفقا لنوع المعاملة الحرارية

Specimen	A	B	C1	C2	C3	D	E1	E2	E3
HRC	17.7	59.3	49.1	35.5	25	26.8	28.8	22.8	18
HV	218	702	505	350	270	280	292	243	222

#### 3.4.2 الفحص بحبيبات الأشعة السينية

تم إجراء الفحص بحبيبات الأشعة السينية للعينات الناتجة للأطوار باستخدام جهاز حبيبات الأشعة السينية من نوع (X-Ray Diffract meter, Philips) الموجود في الشركة العامة للمسح الجيولوجي والتعدين حيث أظهرت النتائج للأطوار الموجود في كل نوع من الفولاذ المعامل حراريا حيث تم تحويل الاوستنait إلى مارتنسيت، وقد وجد بان كمية الاوستنait المتبقية قليلة بحيث لم يتحسنها الجهاز كما هو موضح في المخططات الموجودة في البحث.والشكل (3) يظهر البنية المجهرية لفولاذ متوسط الكربون .



بدون تعامل ، قوة التكبير X 250



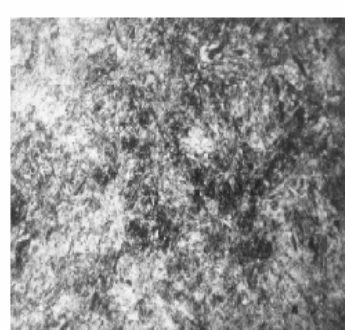
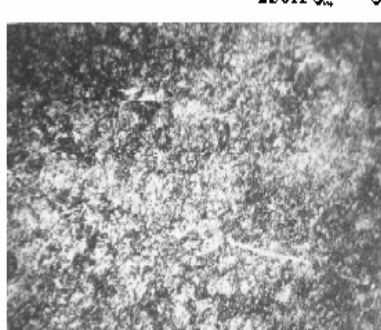
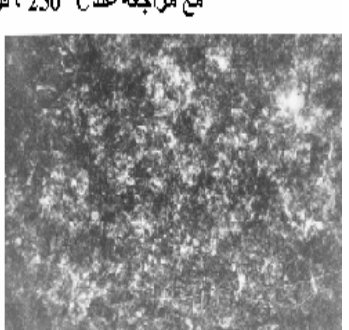
تقسية في الماء ، قوة التكبير X 250



تقسية في الزيت ، قوة التكبير X 250



تقسية في الهواء ، قوة التكبير X 250

مع مراجعة عند 250 °C ، قوة التكبير X 250  
تقسية في الماء مع مراجعة عند 250 °Cمع مراجعة عند 450 °C ، قوة التكبير X 250  
تقسية في الماءمع مراجعة عند 650 °C ، قوة التكبير X 250  
تقسية في الماءمع مراجعة عند 650 °C ، قوة التكبير X 250  
تقسية في الماء

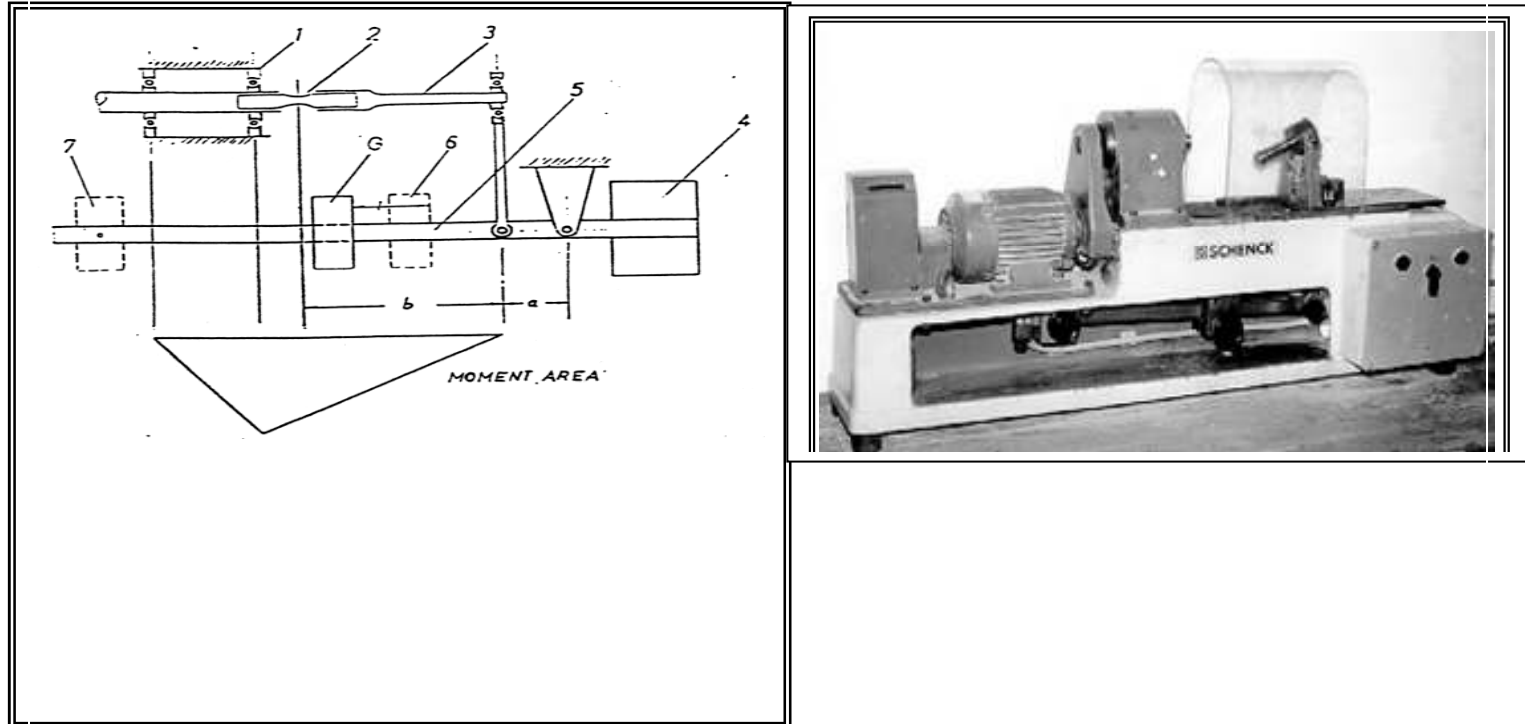
الشكل ( 3 ) البنية المجهرية لفولاذ متوسط الكربون

#### 4.5.2 قياس الحجم الحبيبي

تم استخدام طريقة التقاطع الخطي (Linear Intercept Method) لقياس الحجم الحبيبي للمعدن المستخدم. يتلخص مبدأ هذه الطريقة بحساب عدد الحبيبات الواقعه ضمن خط معلوم الطول، حيث تم تقسيم الطول المعلوم على عدد الحبيبات المحسوبة للحصول على متوسط قطر الحبيبة، وبتكرار هذه العملية عدة مرات في موقع مختلف على سطح المعدن يتم الحصول على متوسط قطر الحبيبة بصورة أكثر دقة، وكان متوسط قطر الحبيبة ( $d_{av}$ ) للفولاذ غير المعامل حراريا (As-Received) هو ( $32 \mu m$ ).

5.4.2 اختبار الكلال

إن اختبار الكلال المستخدم في هذا البحث هو الكلال بالانحناء الدوار (Rotating Bending) والجهاز المستخدم من نوع (Schenck Punn Rotating Bending Machine) الموجود في قسم هندسة الإنتاج والمعادن في الجامعة التكنولوجية، كما موضح في الشكل (4).



شكل (4) رسم تخطيطي لآلية عمل جهاز الكلال مع جهاز الكلال

= إزاحة الكتلة المنزقة	L	عمود القيادة	1
$10 \text{ cm} =$	b	قطعة الاختبار	2
$5 \text{ cm} =$	a	عمود التحمل	3
$\text{الكتلة المنزقة} = 1.5 \text{ Kg}$	G	حمل الموازنة	4
		عتبة التحمل	5
		الكتلة المنزقة	6
		الكتلة الإضافية	7

تم إجراء اختبارات الكلل عند أحمال ثابتة السعة وبنسبة إجهاد  $(1 - R)$  ( لعينات ملساء Smooth ) حيث تتعرض قطعة الاختبار في هذا الجهاز إلى حمل يسلط من الجهة اليمنى لمساكة القطعة بشكل عمودي إلى محور قطعة الاختبار وبذلك يتعرض سطح القطعة إلى إجهادي شد وانضغاط متعاقبين عند دوران القطعة.

أن الجهاز مزود بعداد لتسجيل عدد دورات الإجهاد بسرعة دوارنية للجهاز مقداره  $6000 \text{ rpm}$  وتجري عملية تسليط الإجهاد باستخدام كتلة حديدية تنزلق على عتبة حديدية مدرجة طولها  $30 \text{ cm}$  ومن حساب عزم الحناء تكون قيمة إجهاد الحناء مماثلة بحركة الكتلة على العتبة فعندما تتحرك مسافة  $1\text{cm}$  يسلط إجهاد مقداره  $1 \text{ kg/mm}^2$  على قطعة الاختبار عندما يكون القطر عند قاع التقوس ( $6.74 \text{ mm}$ ).).

أن أقصى اجهاد للاجهاز مع استخدام الكتل الإضافية هو (90 Kg/mm<sup>2</sup>) أي بحدود (900 N/mm<sup>2</sup>) تقريباً.

ولحساب الإجهاد المسلط على عينة الاختبار يمكن تطبيق العلاقات التالية التي تعطي القيمة على المسطرة المدرجة التي يوضع عليها المؤشر للحصول على الإجهاد المسلط المضبوط [4].

$$1\text{cm} = 1\text{kg/m}\text{s}^2 = 9.81\text{N/mm}^2 \dots\dots\dots(1)$$

$$(C.F) = \left( \frac{D}{6.74} \right)^3 \dots \dots \dots \quad (2)$$

جیٹ

$$\text{معامل التصحيح} = C.F$$

$$D = \text{أصغر قطر لعينة الاختبار} = 0.674 \text{ cm}$$

## عزم الحناءة (Mb) عند مركز القطعة

حپٹ :

١ = عزم القصور الذاتي للعينة عند منتصف القطعة.

Y = عامل الشكل

## 6.4.2 اختبار الصدمة

تم إجراء اختبار الصدمة بطريقة (Charpy) للعينات المعاملة حراريا في مختلف الظروف وفقاً للمواصفات القياسية لعينة الصدمة المبينة في الشكل (5)، حيث تم استخدام جهاز اختبار الصدمة نوع Torsee's Charpy Impact Testing Machine (CI-30) الموجود في معهد التكنولوجيا/بغداد ، وتم حساب كلاً من طاقة الصدمة ومقاومة الصدمة عملياً كما موضح في جدول (5)، وتم استخدام القانون التالي لحساب مقاومة الصدمة [5].

$$\sigma_i = \frac{E}{A} = \frac{WL(\cos\alpha_1 - \cos\alpha_2)}{A}$$

حیث:

$$\sigma_i = \text{مقاومة الصدمة (KJ/m}^2\text{)}$$

$$(Joule) \text{ طاقة الصدمة} = E$$

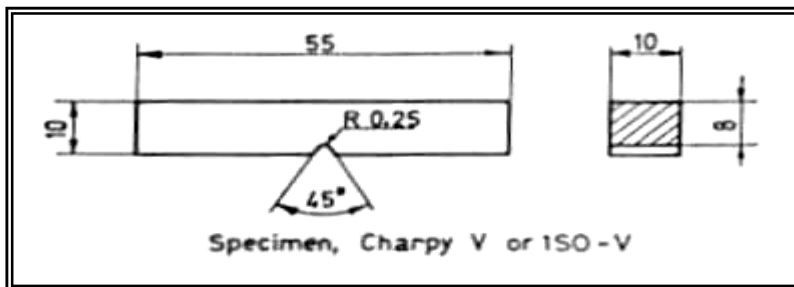
$$25.9 \text{ kg} = \text{وزن النقل} = W$$

$L =$  طول ذراع البندول = 75 cm

$$\alpha_1 = \text{زاوية الصدمة}$$

$$141.5^\circ = \alpha_2$$

$$A = \text{مساحة مقطع عينة الصدمة عند الحز} = 0.8 \text{ cm}^2$$



شكل (5) أبعاد عينة اختبار الصدمة القياسية بطريقة شاربى (V) والابعاد بالمليمتر

جدول (5) نتائج اختبار الصدمة بطريقة (Charpy)

No.	Specimen	$\alpha_1$	عملية E (J)	عملية $\sigma_i$ (KJ/m <sup>2</sup> )
1	A	131	22	270
2	B	132	20	243
3	C1	131	22	270
4	C2	110	75	941
5	C3	99	107	1338
6	D	109	78	975
7	E1	106	87	1081
8	E2	108	81	1013
9	E3	97	113	1413

### 3-1 النتائج والمناقشة

للتبؤ بعمر القطعة المعرضة لاجهادات الكلال والتي أجريت عليها عملية التقسيبة في الماء متبوءة بالمراجعة عند درجات حرارة °C (250, 450, 650)، وتأثير هذه الدرجات الحرارية على عمر القطعة، تم اقتراح أنموذج رياضي تجاري بالاعتماد على أطوال الشقوق الطويلة وعدد دورات الفشل لكل عينة، وكما موضح في الخطوات الآتية:

1. رسم علاقة بين طول الشق- عدد الدورات لاجهادات مختلفة ومن العلاقة تم إيجاد المعادلات الرياضية عند كل درجة حرارية، كما موضح في الجداول (6)، (7) و (8).

2. رسم علاقة بين سرعة تقدم الشق ( $da/dN$ ) وشدة الإجهاد ( $\Delta K$ ) ومن العلاقة تم إيجاد المعادلات الرياضية لكل درجة حرارة مراجعة التي هي:

$$\frac{da}{dN} = 0.0234 \times 10^{-3} (\Delta K)^{-1.794} \quad \text{for } 250 {}^\circ C \quad \dots\dots\dots(7)$$

$$\frac{da}{dN} = 11.96 (\Delta K)^{-3.761} \quad \text{for } 450 {}^\circ C \quad \dots\dots\dots(8)$$

$$\frac{da}{dN} = 0.0274 \times 10^{-3} (\Delta K)^{-2.402} \quad \text{for } 650 {}^\circ C \quad \dots\dots\dots(9)$$

3. تم التعويض عن ( $\Delta K$ ) في معادلات الفقرة (2) بـ  $(Y\Delta\sigma\sqrt{\pi a})$  وعدت قيمة  $Y$  الممثلة بعامل الشكل هي (1) وتم الحصول على:

$$\frac{da}{dN} = 16.76 \times 10^{-3} \sigma_f^{-1.794} a^{0.897} \quad \text{for } 250 {}^\circ C \quad \dots\dots\dots(10)$$

$$\frac{da}{dN} = 2.78 \sigma_f^{-3.761} a^{1.88} \quad \text{for } 450 {}^\circ C \quad \dots\dots\dots(11)$$

$$\frac{da}{dN} = 13.85 \times 10^{-3} \sigma_f^{-2.404} a^{-1.202} \quad \text{for } 650 {}^\circ C \quad \dots\dots\dots(12)$$

4. رسم علاقة بين معدل سرعة تقدم الشق ( $av.da/dN$ ) ومعدل شدة الإجهاد ( $av.\Delta K$ ) لكل الدرجات الحرارية وإيجاد المعادلة الرياضية للعلاقة وهي:

$$\frac{da}{dN} = 1.273 \times 10^{-9} (\Delta K)^{1.895} \quad \dots\dots\dots(13)$$

5. رسم علاقة بين شدة الإجهاد ( $av.\Delta K$ ) لكل الدرجات الحرارية ودرجة حرارة المراجعة ( $T$ ) وإيجاد المعادلة الرياضية للعلاقة وهي:

$$\Delta K = 3006.4(T)^{-0.635} \quad \dots\dots\dots(14)$$

6. رسم علاقة بين معدل سرعة تقدم الشق لكل الدرجات الحرارية ودرجة حرارة المراجعة ( $T$ ) وإيجاد المعادلة الرياضية للعلاقة وهي:

$$\frac{da}{dN} = 6.898 \times 10^{-3} (T)^{-1.257} \quad \dots\dots\dots(15)$$

7. تم مساواة المعادلتين (13) و (15) وبعد التعويض عن  $(\Delta K)$  في معادلة (14) تم الحصول على:

$$a = \frac{907297}{\sigma_f^2 T^{1.326}} \quad \dots\dots\dots (16)$$

$a = \frac{719256}{\sigma_f^2 T^{1.326}}$  ..... (17) من التعويض عن من تكامل المعادلة (15) في معادلة (14) تم الحصول على:

$$a = 6.898 \times 10^{-3} T^{-1.257} N \quad \dots\dots\dots (18)$$

8. تم مساواة المعادلتين (16) و (18) وأيضاً (17) للحصول على معادلتين كل منهما تمثل عمر الجزء:

$$N_f = \frac{0.2 \times 10^9}{\sigma_f T^{0.07}} \quad \dots\dots\dots (19)$$

$$N_f = \frac{100 \times 10^9}{\sigma_f^2 T^{0.07}} \quad \dots\dots\dots (20)$$

$$a = b_o + b_1 N + b_2 N^2 \Rightarrow da/dN = b_1 + b_2 N$$

جدول (6) الحسابات الخاصة بنمو الشقوق لفولاذ المقسى في الماء والمرجع عند  $(250^\circ C)$

$b_o = -0.065$	$b_1 = 9.31 \times 10^{-6}$	$b_2 = 1.50 \times 10^{-11}$		
$a$ (mm)	$N_f$ (cycle)	$\sigma$ (N/mm <sup>2</sup> )	$da/dN$ (mm/cycle)	$\Delta K$ (MPa.m <sup>1/2</sup> )
0.96	$1.40 \times 10^5$	830	$7.230 \times 10^{-6}$	45.50
0.98	$1.55 \times 10^5$	820	$7.013 \times 10^{-6}$	45.55
1.13	$1.73 \times 10^5$	800	$6.744 \times 10^{-6}$	47.45

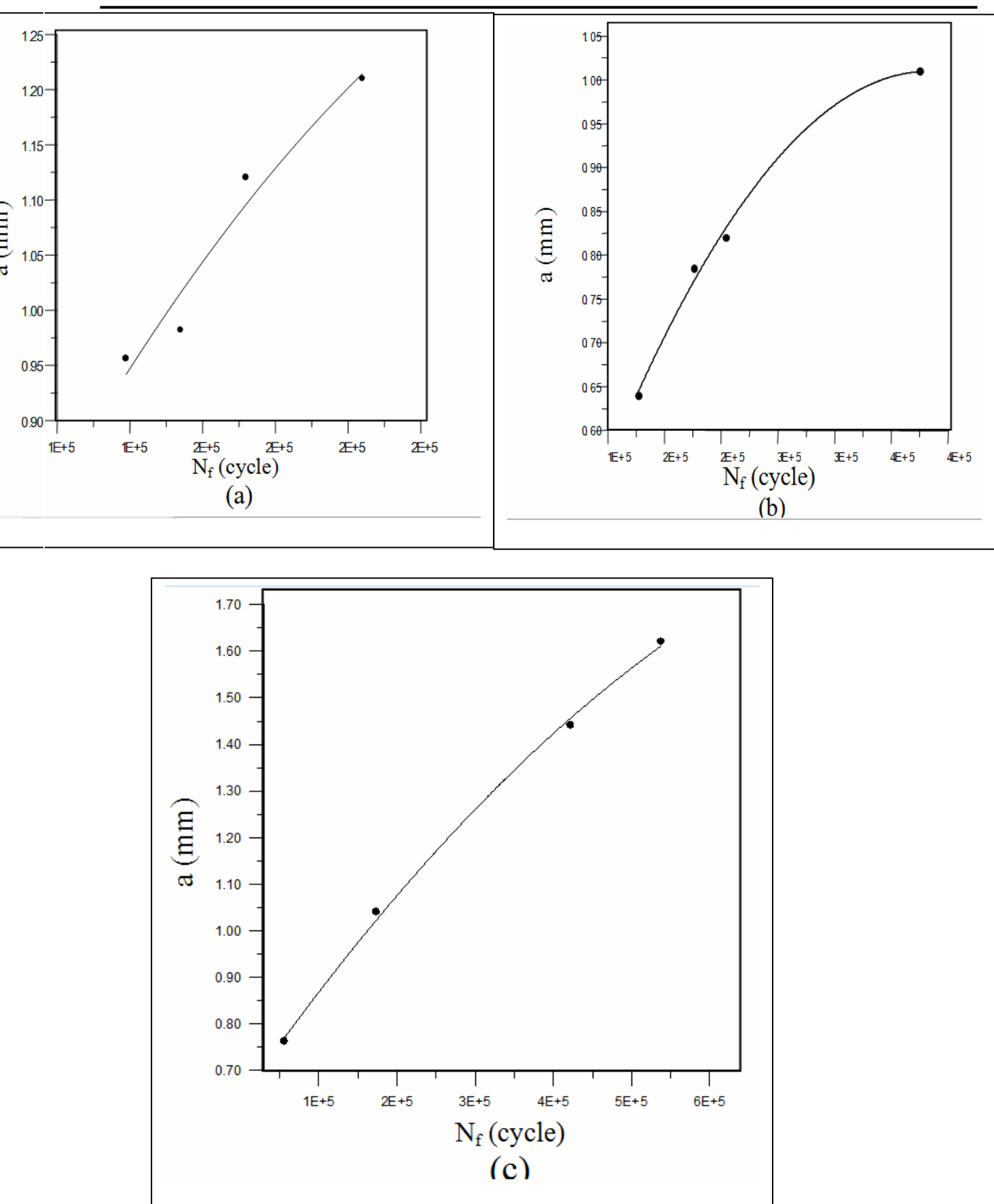
1.22	$2.05 \times 10^5$	790	$6.267 \times 10^{-6}$	48.71
-	-	-	$av.(da/dN) = 6.8 \times 10^{-6}$	$av.\Delta K = 46.8$

جدول (7) الحسابات الخاصة بنمو الشقوق للفولاذ المقسى في الماء والمراجع عند ( $450^{\circ}C$ )

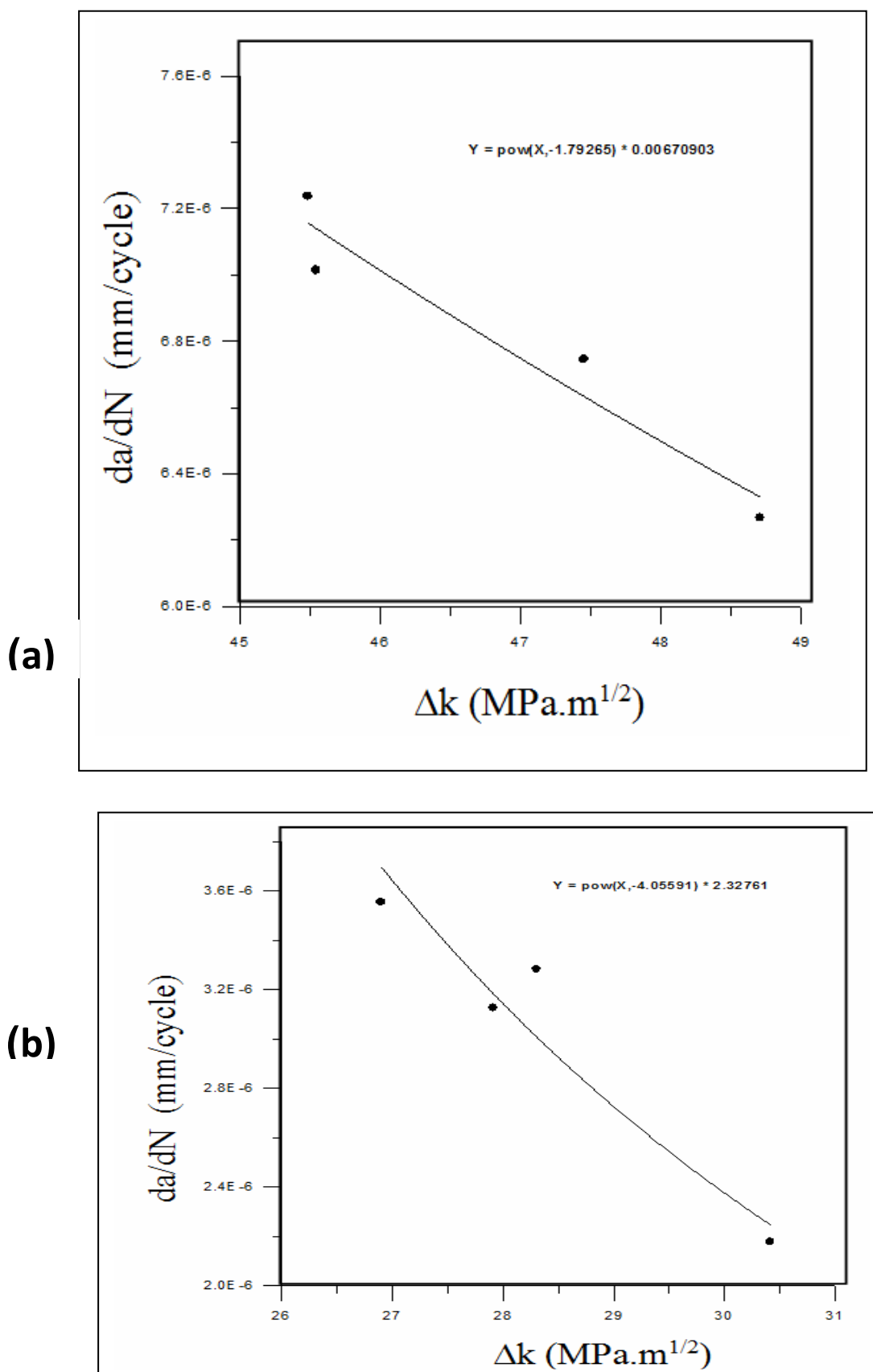
$b_o = 0.193$	$b_1 = 4.26 \times 10^{-6}$		$b_2 = 5.55 \times 10^{-12}$	
a (mm)	$N_f$ (cycle)	$\sigma$ (N/mm <sup>2</sup> )	$da/dN$ (mm/cycle)	$\Delta K$ (MPa.m <sup>1/2</sup> )
0.65	$1.30 \times 10^5$	600	$3.554 \times 10^{-6}$	26.9
0.79	$1.78 \times 10^5$	570	$3.282 \times 10^{-6}$	28.81
0.83	$2.00 \times 10^5$	550	$3.127 \times 10^{-6}$	27.92
1.03	$3.76 \times 10^5$	540	$2.178 \times 10^{-6}$	30.42
-	-	-	$av.(da/dN) = 3.03 \times 10^{-6}$	$av.\Delta K = 28.5$

جدول (8) الحسابات الخاصة بنمو الشقوق للفولاذ المقسى في الماء والمراجع عند ( $650^{\circ}C$ )

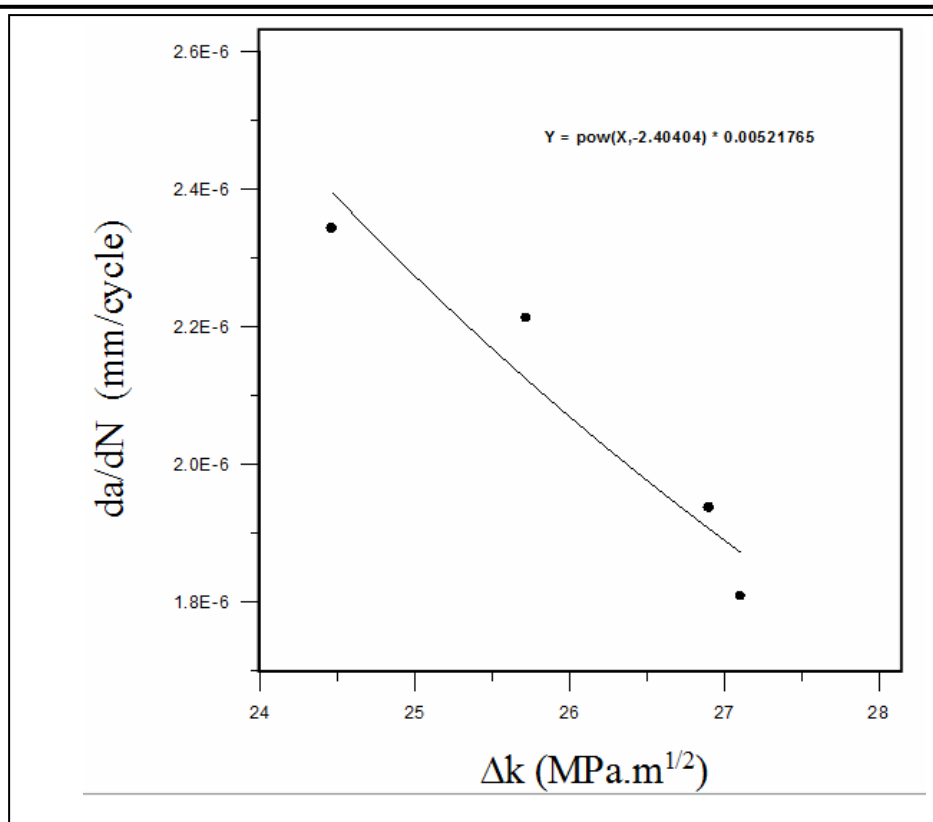
$b_o = 0.64$	$b_1 = 2.41 \times 10^{-6}$		$b_2 = 1.12 \times 10^{-12}$	
a (mm)	$N_f$ (cycle)	$\sigma$ (N/mm <sup>2</sup> )	$da/dN$ (mm/cycle)	$\Delta K$ (MPa.m <sup>1/2</sup> )
0.762	$5.60 \times 10^4$	500	$2.343 \times 10^{-6}$	24.46
1.04	$1.74 \times 10^5$	450	$2.212 \times 10^{-6}$	25.72
1.44	$4.22 \times 10^5$	400	$1.936 \times 10^{-6}$	26.90
1.62	$5.38 \times 10^5$	380	$1.808 \times 10^{-6}$	27.11
-	-	-	$av.(da/dN) = 2.075 \times 10^{-6}$	$av.\Delta K = 26.05$



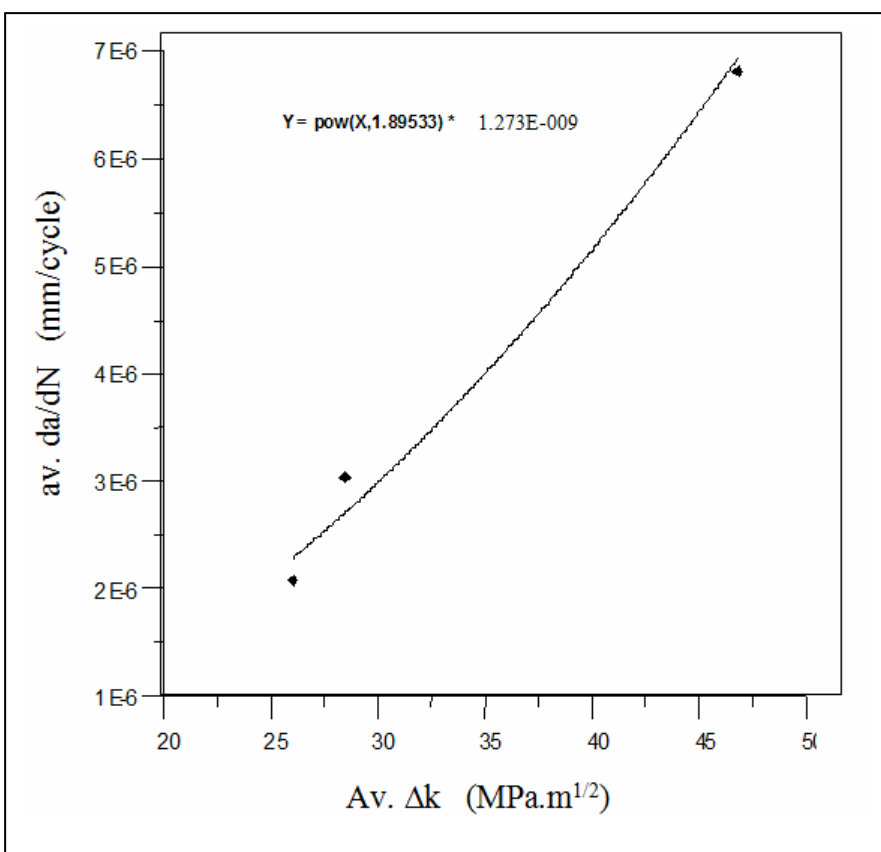
شكل (6) العلاقة بين طول الشق - عدد الدورات لفولاذ متسط الكربون مقسى في الماء و مراجع عند درجات حرارة ( 250, 450, 650 ) °C



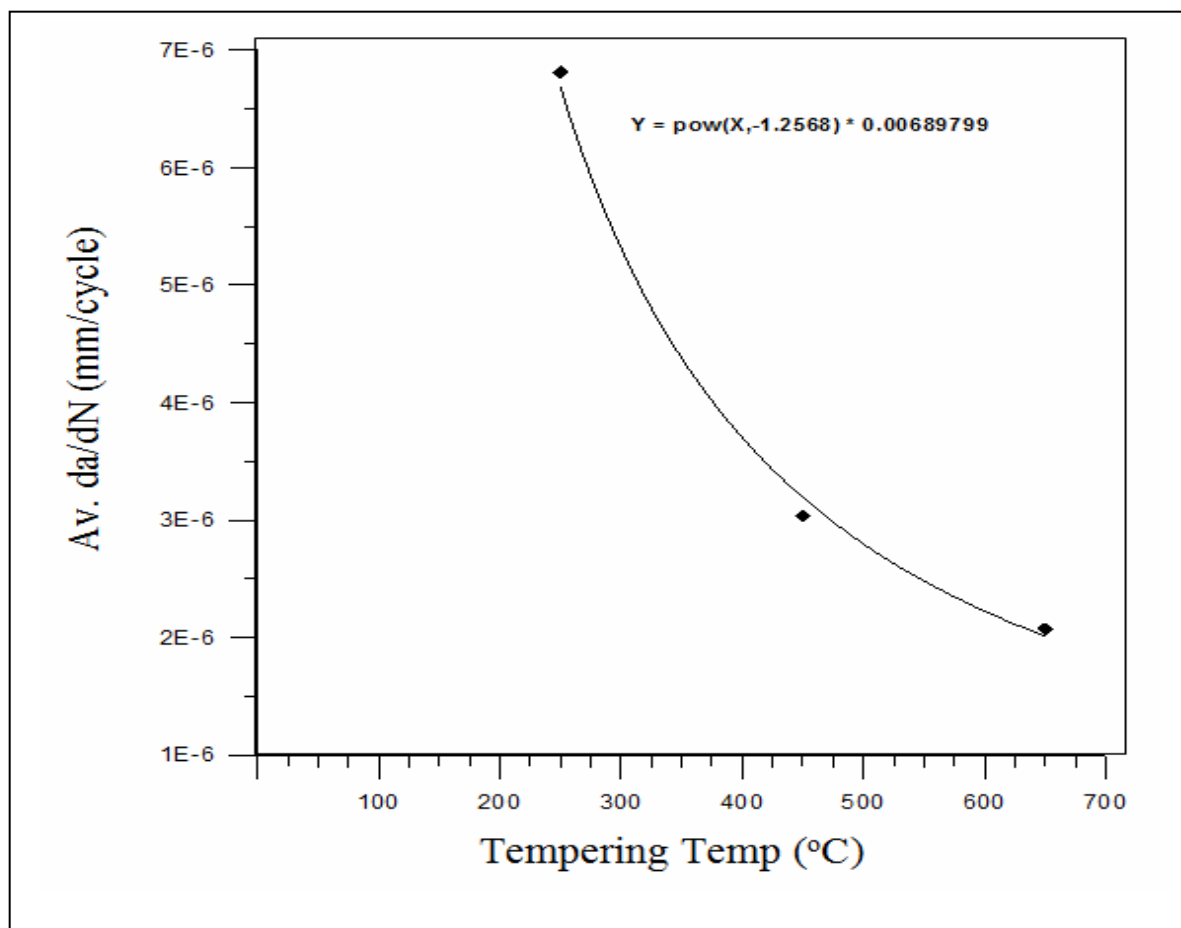
(c)



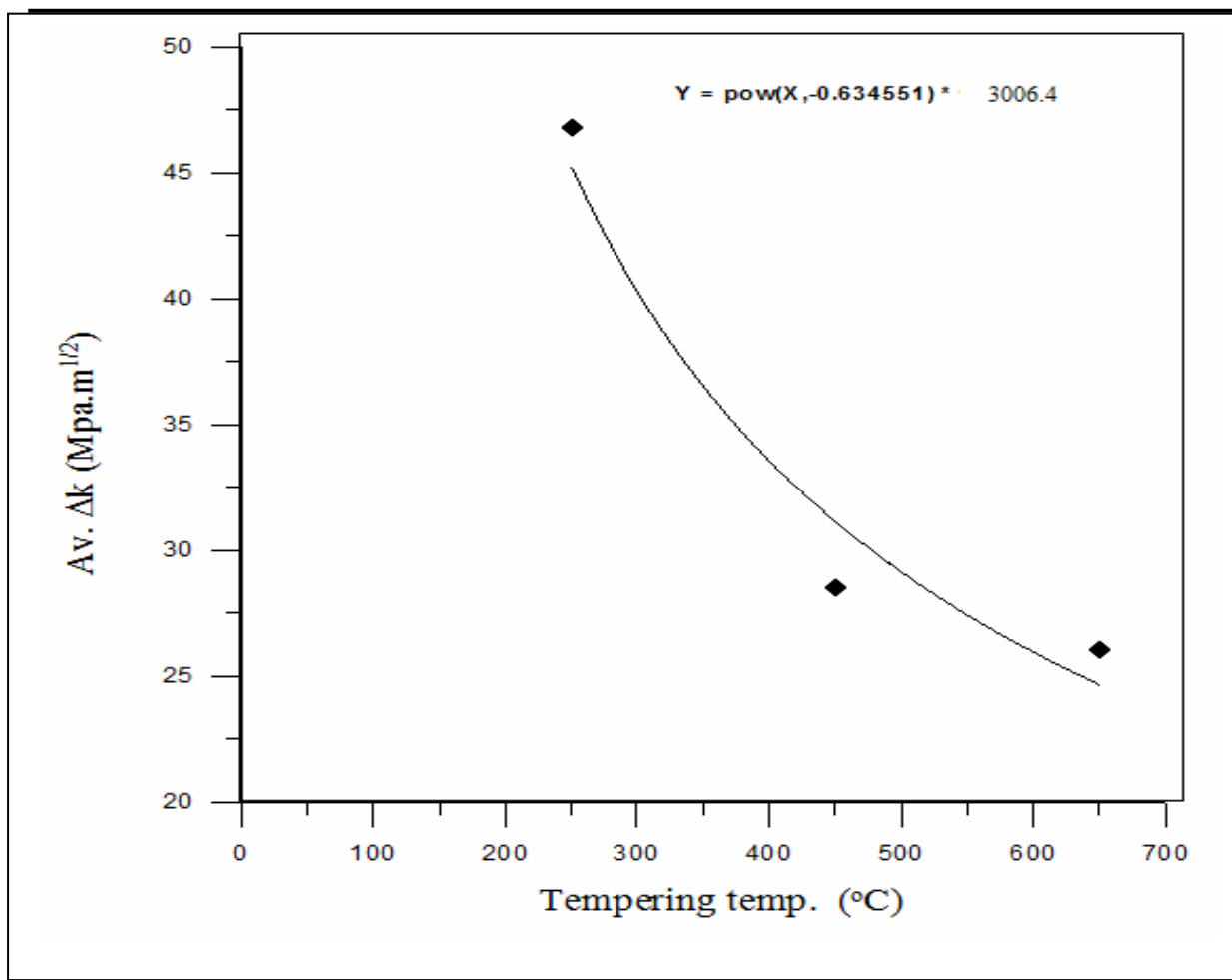
شكل (7) (a,b,c) العلاقة بين سرعة تقدم الشق - شدة الإجهاد لفولاذ متوسط الكربون مقسی في الماء و مراجع عند درجات حرارة ( 250, 450, 650 ) °C .



شكل (8) العلاقة بين معدل سرعة تقدم الشق - معدل شدة الإجهاد لفولاذ متوسط الكربون مقسى في الماء ومتراجمع عند درجات حرارة ( 250, 450, 650 ) °C



شكل (9) العلاقة بين معدل سرعة تقدم الشق - درجة حرارة المراجعة لفولاذ متوسط الكربون مقسى في الماء ومتراجمع عند درجات حرارة ( 250, 450, 650 ) °C



شكل (10) العلاقة بين معدل معامل شدة الإجهاد – درجة حرارة المراجعة لفولاذ متوسط الكربون مقسی في الماء ومراجع عند درجات حرارة ٢٥٠، ٤٥٠، ٦٥٠ ٠

### 2-3 تأثير البنية المجهرية على مقاومة الكلال

عند مستويات إجهاد أقل من حد الكلال تكون شقوق كلال صغيرة لكنها تتوقف عن النمو بسبب تأثيرها بالبنية المجهرية، أما عند زيادة مستوى الإجهاد إلى أعلى من حد الكلال فسيحصل نمو لهذه الشقوق عبر الحواجز البنائية والعواقد لتصبح شقوقاً طويلة لا يتأثر نموها بالبنية المجهرية أو قد تكون الشق الرئيس الذي يسبب الفشل، كذلك فإن البنى الثانوية الطور يكون الشق فيها متعرجاً بسبب وجود طورين يمتلك كل منها خواص ميكانيكية تختلف عن الآخر أو بسبب اختلاف اتجاه المستويات البلورية بين الحبيتين، كما إن نقصان الحجم الحبيبي للبنية المجهرية يقلل من معدل نمو الشقوق الصغيرة بسبب تأثير الحواجز البنائية المتمثلة بالحدود الحبيبية مما يزيد من عمر الكلال الكلي [10].

تم دراسة تأثير البنية المجهرية على مقاومة الكلال للفولاذ متوسط الكاربون لوسطي التقسيمة (الماء والزيت) وكما يأتي:

**أولاً: التقسية في الماء**

إن بنية المارتسايت الناتجة من تقسيمة الفولاذ الكاريوني في الماء تعيق نمو شقوق الكلال بسبب الحواجز البنائية لبنية المارتسايت مما يؤدي إلى ارتفاع حد الكلال، وبعاق نمو هذه الشقوق بشكل أكبر للبنية المجهرية المكونة من المارتسايت المراجع مع القليل من الباينيات اذ تتميز هذه البنية بكونها خالية من الاجهادات الداخلية والتي تنتج من التقسيمة لذلك ارتفع حد الكلال للفولاذ المقسى في الماء والمراجع عند  $250^{\circ}\text{C}$  حيث وصل حد الكلال إلى (780 MPa) وهو أعلى حد الكلال تم الحصول عليه، وهذه البنية المفضلة في الكلال، وهذا يتفق مع ما توصل إليه الباحث J. P. Benson [4].

أما بالنسبة للفولاذ المقسى في الماء والمراجع عند  $450^{\circ}\text{C}$  والذي يتكون على الأغلب من المارتسايت المراجع مع الفرايت والسمنتايت (التروستايت) فان هذه البنية تمتلك الخواص المثلث من ناحية الصلادة ومقاومة الكلال والصدمة، أما الفولاذ المقسى في الماء والمراجع عند  $650^{\circ}\text{C}$  والمكون من الفرايت والبيرلايت الكروي (السوريايت) فتتميز هذه البنية بامتلاكها مقاومة صدمة عالية علاوة على صلادة ومقاومة الكلال متوسطتين. إن المزج بين المقاومة والمتانة العاليتين يعطي خواص الكلال المفضلة عند معدلات نمو شقوق الكلال متوسطة وعالية.

**ثانياً: التقسية في الزيت**

إن الفولاذ المقسى في الزيت و المراجع عند درجات حرارة مراجعة  $450^{\circ}\text{C}$  و  $650^{\circ}\text{C}$  يتكون من بنية الفرايت والبيرلايت مع اختلاف الحجم الحبيبي وطريقة ترسيب السمنتايت لكل تعامل حراري مقارنة بالمعدن الأساس ، كما موضح في صور البنية المجهرية شكل (3) ، حيث يحصل نمو الشق عبر طور الفرايت ويتوقف عند الحدود الحبيبية بين الفرايت والبيرلايت ، ويكون الانتقال بطريقاً خلال حبيبة البيرلايت بسبب صفائح السمنتايت التي تعمل كعائق لنمو شق الكلال [5]، أما بالنسبة للفولاذ المقسى في الزيت والمراجع عند  $250^{\circ}\text{C}$  فيظهر طور الباينيات بشكل قليل مع الفرايت والبيرلايت ( كما مبين في مخططات حيود الأشعة السينية ) الذي يؤدي إلى زيادة مقاومة الكلال مقارنة بالفولاذ المقسى في الزيت.

**3-3 تأثير وسط التقسيمة على مقاومة الكلال**

يحصل الكلال غالباً عن طريق تكوين الحزم الانزلاقية (Slip bands)، لذلك فإن أي معاملة تسبب زيادة الصلادة أو مقاومة الخضوع والشد سوف تزيد من مستوى الإجهاد اللازم للانزلاق وهذا يؤدي بدوره إلى زيادة

مقاومة الكلال ، ويتبين هذا جليا في العينات المقساة في الماء حيث أظهرت ارتفاعا في حد الكلال (740 MPa) أي كانت نسبة التحسن في حد الكلال (131%) مقارنة بالمعدن الأساس المكون من الفرايت والبيرلايت الذي بلغ حد الكلال فيه (320 MPa) ، أما وسط الزيت فانه أعطى مقاومة الكلال أقل من وسط الماء وبلغت (470 MPa) أي كانت نسبة التحسن في حد الكلال (47%) مقارنة بالمعدن الأساس وذلك لأن معدل التبريد في الزيت أقل من معدل التبريد الحرج.

### 3-4 تأثير عملية المراجعة على مقاومة الكلال

أعطت درجة حرارة المراجعة  $250^{\circ}\text{C}$  أعلى مقاومة الكلال بالنسبة لوسط الماء ، وهذا يعزى إلى التخلص من الاجهادات الداخلية الناتجة من عملية التقسية وكذلك تكون بنية المارتنسيت المراجع مع قليل من الباينيايت [6]، حيث ارتفع حد الكلال لهذه البنية إلى (780 MPa) على الرغم من حصول انحدار عالي في منحني الإجهاد-عدد الدورات، أي حصول الفشل بدورات قليلة لقيم الإجهاد المسلط خاصة في الاجهادات العالية القريبة من إجهاد الخضوع وذلك لأن طاقة الانفعال اللدن الازمة للفشل عالية نسبياً لذلك يكون عمر الكلال فيها قليلاً، حيث يزداد معدل نمو الشق في هذه المرحلة بالغاً بذلك طوله الحرج وبالتالي حصول الكسر النهائي بعد دورات قليلة لنشوء الشق.[7]

أما بالنسبة لوسط الزيت وعند نفس الدرجة فقد ارتفع حد الكلال إلى (520 MPa) مقارنة بالمعدن المقسى في الزيت وذلك بسبب تكون القليل من الباينيايت مع الفرايت والبيرلايت كما مبين من نتائج حيد الأشعة السينية في الملحق.

أما درجة حرارة المراجعة  $450^{\circ}\text{C}$  فقد أعطت مقاومة الكلال أقل من المعدن المقسى لكلا الوسطين حيث بلغ حد الكلال (520 MPa) بالنسبة للماء كوسط تقسية و (440 MPa) بالنسبة للزيت كوسط تقسية بسبب زيادة الحجم الحبيبي و نقصان الاجهادات المتبقية الضغطية .

أما درجة حرارة المراجعة  $650^{\circ}\text{C}$  فقد أدت إلى انخفاض مقاومة الكلال لكلا الوسطين حتى أصبحت مقاربة للمعدن الأساس بسبب تكثيف بنية والبيرلايت الكروي وإزالة الاجهادات المتبقية، كما تم مقارنة منحنيات الإجهاد - عدد الدورات للفولاذ المقسى في الزيت والمراجع عند درجات حرارة مختلفة مع المعدن الأساس وكذلك بالنسبة لوسط الماء ، كما تم مقارنة أعمار الكلال لدرجات المراجعة المختلفة وذلك برسم منحنيات الإجهاد - عدد الدورات للفولاذ المقسى في الماء والمراجع عند درجات حرارة مختلفة وعند إجهاد ثابت ،

ووجد بان أفضل عمر كلال هو عند المراجعة في درجة حرارة  $250^{\circ}\text{C}$  250 يليها عند  $450^{\circ}\text{C}$  ثم بعد ذلك عند  $50^{\circ}\text{C}$  6 .

### 3-5 تأثير الخواص الميكانيكية على حد الكلال

يزداد حد الكلال للفولاذ متوسط الكاربون بزيادة كل من مقاومة الشد و الصلادة وتم إيجاد معادلات تصميمية تربط بين كلا من الصلادة و مقاومة الشد مع حد الكلال، إذ أعطت هذه النماذج نتائج مقاربة لمنحنيات الإجهاد -عدد الدورات لنفس المعدن حيث تعطي هذه النماذج مؤشراً تقربياً لحد الكلال.

تم حساب نسبة الكلال والتي تمثل النسبة بين مقاومة الكلال إلى مقاومة الشد القصوى ( $\sigma_f/\sigma_u$ ) حيث تراوحت بين (0.365) في حالة الفولاذ المقسى في الماء وبين (0.64) في حالة الفولاذ المقسى في الزيت والمراجع عند  $650^{\circ}\text{C}$  وبعد دورات  $10^5$  دورة ، وتمثل هذه النسبة مقدار التشكيل اللدن الذي يزداد بزيادة نسبة الكلال .

ان عدد دورات الفشل له اثر كبير على نسبة الكلال حيث تراوحت بين (0.432) عند  $10^6$  دورة وبين (0.515) عند  $10^5$  دورة وهذا يتفق مع ما توصل إليه

الباحث Lankford J [8] ، تم التوصل إلى إن المعاملة المشتملة على تقسيمة الفولاذ في الماء هي افضل من المعاملة المشتملة على التقسيمة في الماء والمراجعة عند  $250^{\circ}\text{C}$  عند عدد دورات عالية تتجاوز  $10^5$  دورة، أما عند عدد دورات اقل من  $10^5$  دورة فان التقسيمة في الماء المتبوعة بالمراجعة عند  $250^{\circ}\text{C}$  هي أفضل من التقسيمة في الماء ، وهذا يزيد من أهمية هذه المعاملة في تطبيقات الكلال واطئ الدورات (Low Cycle Fatigue) وتم حساب قيم الثوابت A و  $\alpha$  الخاصة بمنحنيات الاجهاد - عدد الدورات ومقارنتها مع النتائج العملية وكانت مقاربة.

### 3-6 مناقشة تصرف ونمذجة شقوق الكلال

أظهرت صور المجهر الالكتروني الماسح (SEM) للفولاذ متوسط الكاربون غير المعامل والمعامل حرارياً إن مرحلة النمو المبكر للشقوق القصيرة للفولاذ الناتج من التقسيمة والمراجعة هي أبطئ من تلك التي للشقوق الطويلة لنفس شدة الإجهاد وذلك لتأثيرها بشكل كبير بالبنية المجهرية [9,10] كما تم ملاحظة مرحلة توسيع الشق ووجد بأنه من نظام التحام الفجوات الدقيقة (Microvoid coalescence mode) بالنسبة للبنيّة البيبرليتية وخاصة الكروية منها التي تنتج من التقسيمة في الماء المتبوعة بالمراجعة عند  $650^{\circ}\text{C}$  ، وهذا يتفق مع ما توصل

إليه الباحث De Los Rios [11]، كما وتم ملاحظة تكون الحزوز (striation) التي تشير إلى حدوث تشكيل لدن في البنى البيرلaitية وخاصة للمعدن المستلم (بدون تعامل) كما موضح في شكل (3).

إن بدء الشق يكون عادة مرتبطةً بتكون الشقوق الدقيقة عبر الحدود الحبيبية علاوةً على تكون الحزوز، وهذه العملية تكون سريعة في الفولاذ المقسى في الماء وتعاقب بالنسبة للبنى الناتجة من المراجعة وهذه الحالة واضحة في الفولاذ المقسى في الماء والمراجع عند  $250^{\circ}\text{C}$ ، كذلك تم ملاحظة تكون الكسر مابين الحبيبات (Inter granular Fracture) بالنسبة للبنية المارتسايتية الناتجة من التقسية في الماء [11]، ومن صور المجهر الإلكتروني الماسح الموضحة في شكل (3) وبعد قياس أطوال الشقوق الطويلة وإهمال الشقوق القصيرة لصعوبة مسحها وقياسها تم التنبؤ بأنموذجين رياضيين لحساب أعمار الكلال ويلاحظ من الشكل (10) إن معامل شدة الإجهاد ( $\Delta K$ ) تتحفظ بزيادة درجة حرارة المراجعة وذلك لأن البنية الناتجة من المراجعة عند  $250^{\circ}\text{C}$  هي المارتسايت المراجع الحاوية على الإجهادات المتبقية الضغطية التي تؤدي إلى حدوث ظاهرة انغلاق الشق (Crack Closure) [12] علاوة على الحاجز البنائي القوية للمارتسايت مما يزيد من الإجهاد اللازم لحدوث الانغلاق الذي يؤدي بدوره إلى زيادة معامل شدة الإجهاد (شكل (10)).

#### 4- الاستنتاجات

- أعلى حد الكلال تم الحصول عليه للفولاذ المقسى والمراجع بالنسبة لوسطي الماء والزيت هو عند درجة حرارة مراجعة  $250^{\circ}\text{C}$ .
- أعطت درجة حرارة المراجعة  $450^{\circ}\text{C}$  بالنسبة لوسط الماء الخواص المثلث للفولاذ متوسط الكربون من ناحية الصلاة ومقاومة الصدمة والكلال.
- إن زيادة درجة حرارة المراجعة أدت إلى تحويل نوع الكسر الهش إلى الكسر المطيلي.
- أدت التقسية في الماء المتبعنة بالمراجعة عند  $250^{\circ}\text{C}$  إلى تحسين مقاومة الكلال، إذ بلغ مقدار التحسن (144%) مقارنة بالمعدن الأساس.
- تم التوصل إلى علاقات رياضية تربط بين مقاومة الكلال والشد والصلادة.
- اظهر الأنماذج الرياضي الذي يعتمد على معامل شدة الإجهاد ( $\Delta K$ ) في حساب عمر الكلال دقة اكبر من الأنماذج الذي يعتمد على سرعة تقدم الشق ( $da/dN$ )، كما أعطى كلاماً من الأنماذج أعمار الكلال اقل من القيمة العملية وهذا يعطي معامل أمان جيد للمصمم.
- أظهرت المعاملة المشتملة على التقسية في الماء والمراجعة عند  $250^{\circ}\text{C}$  أهميتها في تطبيقات الكلال واطئ الدورات أي عند عدد دورات اقل من  $10^5$  دورة.
- إن البنية المجهرية المفضلة في الكلال هي المارتسايت المراجع.

**المصادر References**

- [1] جي. اي. ديتز، ترجمة د. عبد الرزاق إسماعيل خضر، د. عبد الوهاب محمد عبد الله "الميالورجيا الميكانيكية" الجامعة التكنولوجية، قسم هندسة الانتاج والمعادن، بغداد، 1994.
- [2] د. ج. ديفيز، ل. أ. اويلمان، ترجمة د. جعفر طاهر الحيدري، السيد عدنان نعمة "المعادن بنيتها وخصائصها ومعاملاتها الحرارية"، بغداد، 1989.
- [3] Chen, Xu. 2004. Evaluation of Fatigue Damage at Welded Tube Joint Under Cyclic Pressure Using Surface Hardness Measurements. Enqineering Failure Analysis. 12 (616-622).
- [4] Becker, W. T. et al. 2004. vol. 11. ASM Handbook: Failure Analysis and Prevention. ASM Intemational: Ohio.
- [5] R.A. Smith, "Fatigue Crack Growth" 30 years progress proceeding of conference on fatigue crack growth, Cambridge, U. K., Awheaton co. Ltd., 1984.
- [6] د. عويد زهمك الروي، د. عبد الرزاق إسماعيل خضر "المعاملات الحرارية للمعادن الحديدية واللاحديدية"، قسم هندسة الإنتاج والمعادن، الجامعة التكنولوجية، بغداد، 1989.
- [7] K. Tokaji and T. Ogawa, "The Growth Behavior of Microstructurally Small Fatigue Crack in Metal", Short Fatigue Cracks, EIS13 (edited by K. J. Miller and E. R. De Los Rios), Mechanical Engineering Publication, London, pp. 85-99, 1992.
- [8] J. Lankford, "The Influence of Microstructure on the Growth of Small Fatigue Cracks", Fatigue Fract. Engng. Mater. Struct., Vol. 8, No. 2, pp. 161-175, 1985.
- [9] T. A. Khalifa, "Effect of Inclusion on the Fatigue Limit of a Heat-Treated Carbon Steel", Material Science and Engineering, A102, pp. 175-180, 1988.
- [10] عبدالله ضايع عاصي (تأثير تصميم وصلات اللحام على معدل نمو شقوق الكلال ) ، أطروحة ماجستير ، الجامعة التكنولوجية ، 2002.
- [11] Hobart. 2005. MIG Welding. (Web Document) Available at:<http://www.hobartwelders.com/products/mig>

- 
- [12] K. J. Miller and R. Akid, "The Application of Microstructural Fracture Mechanics to Various Metal Surface States", Proc. R. Soc. Lond. A (452), pp. 1411-1432, 1996.